

# BÖBREK ALLOGRAFTLARININ TAKBİNDE HİSTOPATOLOJİK DEĞERLENDİRME VE MORFOLOJİNİN KLİNİKLE UYUMU

Dr. Dilek YAVUZER (\*), Dr. Nîmet KARADAYI (\*\*), Doç. Dr. Ümit İNCE (\*\*\*) , Dr. Funda TÜRKMEN (\*\*\*\*),  
Doç. Dr. İzzet TİTİZ (\*\*\*\*\*)

**ÖZET:** Bu çalışmada böbrek transplantasyonu yapılan 46 hastadan değişik zamanlarda alınan toplam 104 iğne biyopsi materyali histopatolojik olarak değerlendirilmiştir.

32 hastada (%69.6) en az bir kez olmak üzere akut rejeksiyon, 12 hastada (% 26) kronik rejeksiyon, 8 hastada (% 17.4) CyA nefrotoksitesi tespit edilmiştir. Ayrıca klinik bulgularla morfoloji karşılaştırılmış ve histopatolojinin böbrek allograftlarının izlenmesindeki önemi vurgulanmıştır.

**ANAHTAR KELİMELER:** Böbrek Transplantasyonu, Histopatoloji

**SUMMARY:** In this study, a total of 104 percutaneous core-needle biopsies performed on 46 renal transplant recipients at different times were examined histologically. In 32 cases (%69.6) at least once a time acute rejection, in 12 cases (%26) chronic rejection, in 8 cases (% 17.4) CyA nephrotoxicity were diagnosed. Meanwhile, clinical and morphological findings were compared. The value of histopathology in monitoring renal allografts is emphasized.

**KEY WORDS:** Renal Transplantation, Histopathology

## GİRİŞ

Böbrek transplantasyonu sonrası akut ve kronik rejeksiyon, siklosporin A (CyA) nefrotoksitesi, enfeksiyonlar, akut tubuler nekroz, cerrahi komplikasyonlar gibi allograft disfonksiyonuna neden olabilecek çeşitli durumların teşhisinde en güvenilir ve doğru tanı yöntemi histopatolojik incelemedir (1,2,3,4). Bu çalışmada böbrek transplantasyonu yapılan hastalardan değişik zamanlarda alınan toplam 104 iğne biyopsi materyalinin histopatolojik değerlendirmesi ve morfolojinin klinik bulgularla uyumu araştırılarak sunulmuştur.

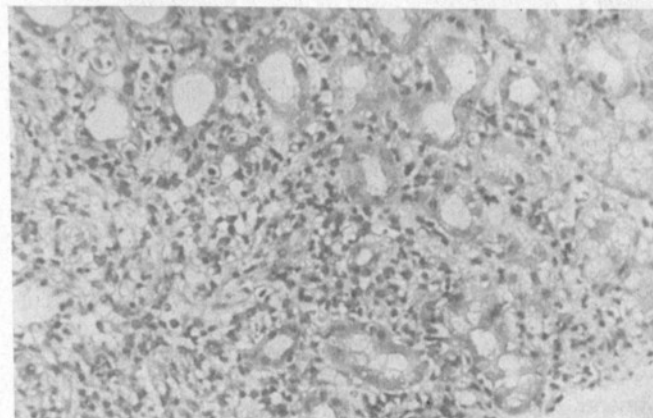
## MATERİYAL VE METOD

Haydarpaşa Numune Hastanesi Transplantasyon Ünitesinde haziran 1991- ocak 1995 tarihleri arasında 28'i kadavra 44'ü canlı vericiden olmak üzere 72 hastaya böbrek transplantasyonu yapıldı. Bu hastaların 46'sından değişik zamanlarda, ultrasonografi eşliğinde 18 gauge'lik otomatik biyopsi iğnesi (autovac) ile toplam 104 iğne biyopsisi alındı. Biyopsi materyalleri, % 10'luk tamponlu formolda fiksör edildikten sonra daha önce yayılmış olduğumuz mikrodalga teknigi ile hızlı doku takibi yapılarak parafine gömülü (5). parafin bloklardan 3-4 mikronluk kesitler alınarak H+E, PAS, PAS-M ve Masson-trichrom boyaları uygulandı. Biyopsiyi takiben toplam 4 saat içinde, dokular ışık mikroskopunda incelenerek değerlendirildi.

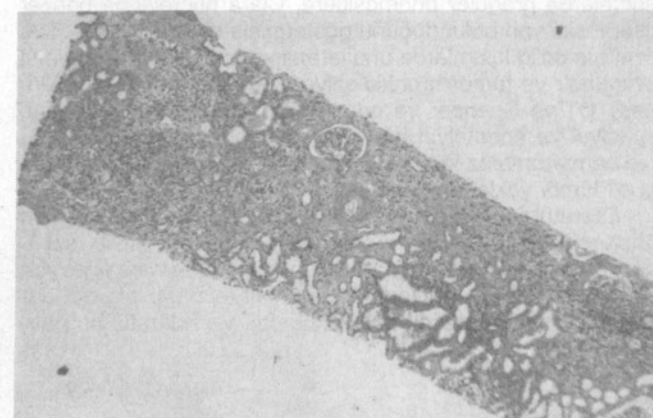
Ayrıca retrospektif bir araştırma ile hastaların biyopsi tarihlerinde BUN, Kreatinin ve kan CyA düzeyleri hastane kayıtlarından elde edildikten sonra morfolojik bulgularla karşılaştırıldı. Akut tubulointerstisyal rejeksiyon tanısı alan vakalarda BUN ve kreatinin değerleri diğer vakalardaki değerlerle istatistiksel olarak karşılaştırıldı ve aralarında anlamlı bir fark olup olmadığı araştırıldı. İstatistik yöntemi olarak t testi kullanıldı.

## SONUÇLAR

104 biyopsinin 9 tanesi, böbrek korteksine ait dokuya rastlanmadığı için yetersiz kabul edilerek değerlendirmeye



Resim 1 : Akut tubulointerstisyal rejeksiyon (H.E x400)



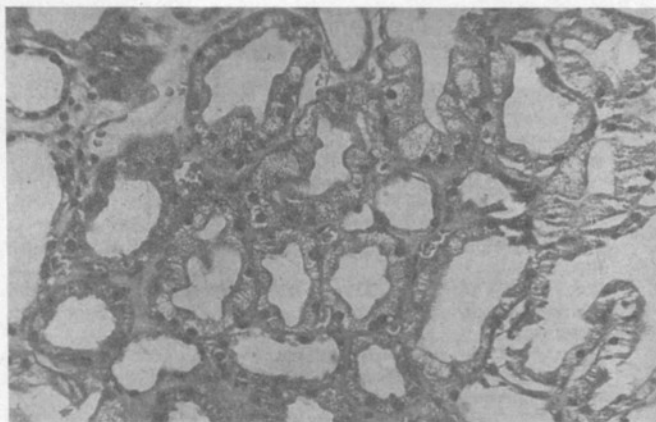
Resim 2 : Kronik rejeksiyon (H.E x 100)

almadı. Geri kalan 95 biyopsinin histopatolojik tanıları tablo 1'de gösterilmektedir.

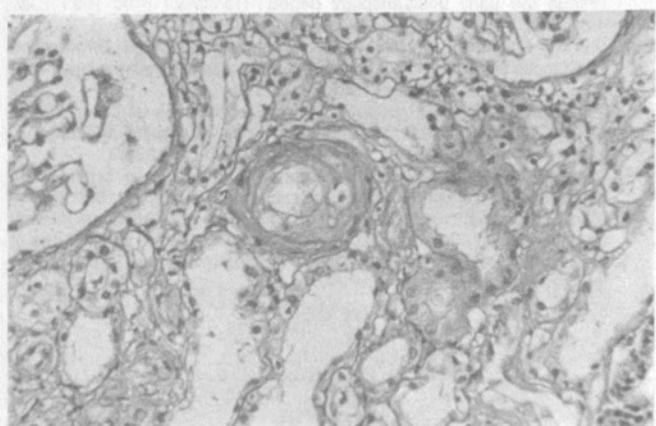
46 hastanın 32'sinde (% 69.6) en az bir kez olmak üzere akut rejeksiyon atağı izlendi (Resim 1). 12 hastada (%26) kronik rejeksiyon gelişti (Resim 2). 8 hastada (% 17.4) CyA nefrotoksitesi görüldü (Resim 3,4).

Biyopsi sırasında hastaların kreatinin değerleri 0.9 le 10mg/dl, BUN değerleri 10.74 mg/dl ile 140.18 mg/dl arasında değişmekteydi. Yine biyopsi sırasında hastaların kan CyA düzeyleri en düşük 22 ng/ml, en yüksek 972 ng/ml bulundu.

\* Haydarpaşa Numune Hastanesi, Patoloji Laboratuvarı Uzmanı  
\*\* Kartal Eğitim ve Araştırma Hastanesi, Patoloji Laboratuvarı Şefi  
\*\*\* Haydarpaşa Numune Hastanesi, Patoloji Laboratuvarı Şefi  
\*\*\*\* Haydarpaşa Numune Hastanesi, Hemodiyaliz Ünitesi Başasistanı  
\*\*\*\*\* Haydarpaşa Numune Hastanesi, 1. Cerrahi Klinik Şefi



**Resim 3 :** Siklosporin A toksisitesi-tubulislarda izometrik vakuolizasyon (H.E x 400)



**Resim 4 :** Siklosporin A toksisitesi - arteriolde intimal kalınlaşma ve düz kas bürcelerinde degenerasyon (H.E x400)

Şekil 1 ve 2 de sadece ATR ve ATR'nin eşlik etmediği tanılar alan vakaların kreatinin ve BUN değerleri gösterilmektedir.

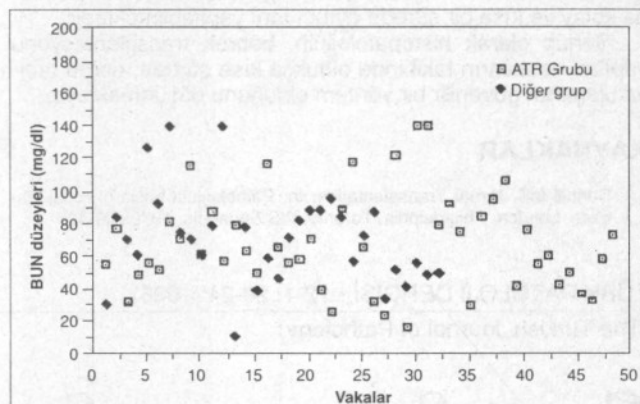
ATR ve ATR dışı tanı alan vakaların BUN ve kreatinin düzeyleri t testi ile istatistiksel olarak karşılaştırıldı. Kreatinin düzeyleri için ATR grubunun ortalaması  $3.955 \pm 2.146$ , diğer grubun ortalaması  $5.008 \pm 2.586$ , t değeri 1.980 olarak bulundu. Aralarında istatistiksel olarak anlamlı fark bulunamadı ( $p= 0.051$ ). BUN düzeyleri için ATR grubunun ortalaması  $67.560 \pm 29.01$ , diğer grubun ortalaması  $70.627 \pm 29.25$ , t değeri 0.467 olarak bulundu. BUN düzeyleri açısından da bu iki grup arasında istatistiksel olarak anlamlı fark bulunmadı ( $p=0.641$ ).

## TARTIŞMA

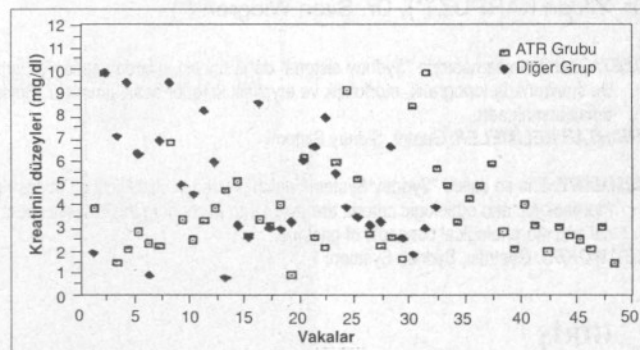
Vaka serimizde biyopsi yapılan hastaların 32'sinde (%69.6) akut rejeksyon atağı tespit edilmiştir. Literatürde bildirilen akut rejeksyon ataklarının görülmeye sıklığı % 25 ile % 71 arasında değişmektedir (6,7). Biyopsilerin çoğunla histopatolojik olarak ATR tanısı konmuştur. Yalnızca 1 hastada transplantasyondan 5 gün sonra bir hafta ara ile yapılan 2 biyopside damar duvarlarında fibrinoid nekroz ve PNL infiltrasyonu ile giden akut vasküler rejeksyon tespit edilmiş ve hasta kısa bir süre sonra tedaviye cevap vermeyerek retransplantasyona gitmiştir. Histopatolojik tablo ve ortaya çıkış zamanı değerlendirildiğinde bu vaka akselere red olarak kabul edilmiştir. Literatürde de bu tip rejeksyonda tedaviye yanıtın

**TABLO 1 : ATR: AKUT TUBULOINTERSTİSYEL REJEKSİYON, AVR: AKUT VASKÜLER REJEKSİYON ATN: AKÜT TUBULER NEKROZ, CyA TOK. (VAS-INTERS): SIKLOSPORİN A TOKSİSİTESİ (VASKÜLER INTERSTİSYEL)**

HİSTOPATOLOJİK TANILAR	BİYOPSİ SAYISI
ATR	48 (%50.5)
AVR	2 (%2.1)
ATN	12 (%12.6)
CyA tok. (tubuler)	5 (%5.3)
CyA tok. (vas-inters)	1 (%1)
CyA tok (tubuler)+ATR	2 (%2.1)
CyA tok. (vas-inters)+ATR	2 (%2.1)
Kronik rejeksyon	3 (%3.2)
Kronik rejeksyon+ATR	9 (%9.5)
Akut pyelonefrit	2 (%2.1)
Membranoproliferatif GN	1 (%1)
Normal böbrek dokusu	8 (%8.4)



**Şekil 1**



**Şekil 2 :**

iyi olmadığı bildirilmektedir (8,9).

Düzen bir hastada transplantasyondan 6 ay sonra yapılan biyopside membranoproliferatif GN tespit edilmiştir. Aynı dozden alınan diğer böbreğin histopatolojik incelemesinde glomerüllerde bir patoloji saptanmadığından biyopsi rekurren veya da novo glomerülonefrit olarak değerlendirilmiştir. Rekurren veya da novo glomerülonefrit ayrimı native böbreğin primer patolojisi bilinmediği için yapılamamıştır (10).

CyA bağlı tubuler toksite tespit edilen hastaların 2 tanesinde kan CyA düzeyleri 200-300 ng/ml arasında bulunmuş-

tur. Bu değerler literatürde akut nefrotoksisite için bildirilen 800-1000 ng/ml'nin oldukça altındadır (11,12,13). CyA nefrotoksisitesi doza bağlı olmakla birlikte ilaca bağlı kişisel hassasiyetin toksisitede rol oynadığı bilinmektedir (11,13). Biz bu vakalarda nefrotoksisitenin, hastalardaki yüksek CyA hassasiyetine bağlı olarak gelişliğini düşündük. Kreatinin ve BUN düzeyleri normalin üzerinde olan hastalardan alınan biyopsilerin bazlarında normal sınırlar içinde böbrek dokusu tespit edilmiştir. CyA'ya bağlı fonksiyonel toksisitede morfolojik olarak bir bulguya rastlanmamıştır (11). Ayrıca bazen biyopsi akut rejeksiyon tedavisinden birkaç gün sonra alınmaktadır. Bu biyopsilerin histopatolojik olarak normal sınırlar içinde bulunması bu iki nedene veya henüz morfolojik yansımısması olmamış hemodinamik değişikliklere bağlı olabilir.

Histopatolojik olarak ATR tanısı almış olan vakalarla diğer vakaların arasında BUN ve kreatinin değerleri açısından istatistiksel olarak anlamlı bir fark bulunamamıştır. Bu bize, geniş bir spektrumu olan tanıların klinikte birbirini taklit edeboleceğini ve ayırımının ne kadar güç olduğunu göstermektedir. Bununla birlikte, hastalar iğne biyopsileri ile takip edildiklerinde ve özellikle mikrodalga tekniği kullanıldığında, çok daha kolay ve kısa bir sürede ayırcı tanı yapılmaktadır.

Sonuç olarak histopatolojinin, böbrek transplantasyonu yapılan hastaların takibinde oldukça kısa sürede, doğru tanıya ulaştıran güvenilir bir yöntem olduğunu düşünmektediriz.

## KAYNAKLAR

- Dunnill MS. Renal Transplantation. In: Pathological basis of renal disease. London, Philadelphia, Toronto: WB Saunders, 1976:393-406.
- Kim HC, Park SB, Lee SH, Cho WH, Park CH, Park KK. Analysis of 214 percutaneous renal allograft biopsies. *Transplant Proc* 1994;26;4:1997-98.
- Solez K, Racusen LC, Marcussen N et al. Morphology of ischemic acute renal failure, normal function, and cyclosporine toxicity in cyclosporine-treated renal allograft recipients. *Kidney Int* 1993;43:1058-1067.
- Wennberg L, Miyahara S, Wilczek HE. Percutaneous core-needle biopsy of renal transplant performed safely without radiographic aid : A prospective study. *Transplant Proc* 1994; 26;3:1769-1770.
- Yavuzer D, Karadayı N, Ince Ü. böbrek allograft iğne biopsilerinde mikrodalga teknigi ile hızlı doku takibi. *Diyaliz, Transplantasyon ve Yanık* 1994;7;2:6-9.
- Cacciarelli TV, Sumrani N, DiBenedetto A. Influence of donor age and rejection episodes on renal allograft outcome. *Transplant Proc* 1993; 25;3:2180-82.
- Fehrman I, Tyden G. Comparison between kidney living donor and cadaveric donor transplantations in recipients below 45 years of age. *Transplant Proc* 1992;24;1:330.
- Croker BP, Salomon DR. Pathology of the renal allograft. In Tisher CC, Brenner BM, eds. *Renal pathology with clinical and functional correlations*. Philadelphia : JB Lippincott, 1989 : 1518-54.
- Snover DC. General aspects of the pathology of rejection of kidney and liver in the early posttransplant period. *Transplant Proc* 1993 ; 25; 4:2649-51
- Salinas- Madrigal L, Pardo-Mindan J, Llausas-Magana E, Erro-Aguirre E. Complications of renal transplant : a morphologic evaluation. Seminars in diagnostic pathology 1988;5;1:80-103.
- Mihatsch MJ, Ryffel B, Gudat F, et al. Cyclosporine nephropathy. In: Tisher CC, Brenner BM, eds. *Renal pathology with clinical and functional correlations*. Philadelphia : JB Lippincott, 1989 : 15555-86.
- Mihatsch MJ, Thiel G, Ryffel B. Morphologic diagnosis of cyclosporine nephrotoxicity. *Seminars in diagnostic pathology* 1988; 5; 1:104-121.
- Thiel G, Landmann J, Mihatsch MJ. Optimal use of Sandimmun in renal transplantation : The Basle experience. In: Land W, ed. *Optimal use of Sandimmun in organ transplantation*. Berlin Heidelberg: Springer Verlag, 1987; 25-29.